

# 90°弯管中瞬变流特性的实验研究

刘刚 王树立 马贵阳

(抚顺石油学院, 113001)

**摘要** 本文对水击波在90°弯管内部的传播特性进行了测试, 得出了弯管中不同部位水击压力的数值及其随流速的变化规律。

**关键词** 弯管, 水击现象, 水击波

## 1. 前言

水击现象是有压管路中的非定常流动。当管路工作状态突然改变时, 流速亦随之改变, 从而引起管内压强大幅度波动, 产生水击。严重时可能使管道强烈振动, 甚至破裂。对水击压力的正确预测在泵站和水电站中是一个很重要的实际问题。

水击波在弯曲的管道中传播, 由于壁面的反射和管道与流体的干涉作用, 将产生复杂的三维的水击波波动过程。但是, 迄今为止, 对于

管道系统水击问题的研究, 通常是将实际的弯曲管道近似地用直管来代替, 然后采用现有的二维理论进行计算分析。尽管有的文献如<sup>[1]</sup>采用了二维理论进行了计算, 但毕竟是在无粘性假设下进行的, 不能完全反映真实情况。而对实际流体进行三维计算, 目前还存在着很大困难。

本文取一般等径90°弯管作为典型研究单元, 对水击波在其内部的传播及流速对水击压力的影响作实验研究, 并与用一、二维理论计算的结果<sup>[2]</sup>作了对比分析。

## 2. 实验设备及实验方法

图1为测试设备及测试流程框图, 图2为实验所用弯管及测定部位示意图。

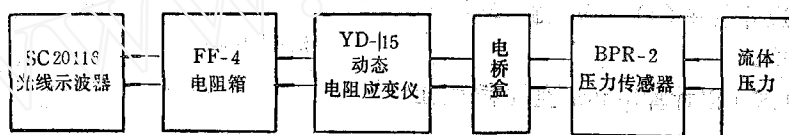


图1 测试流程图

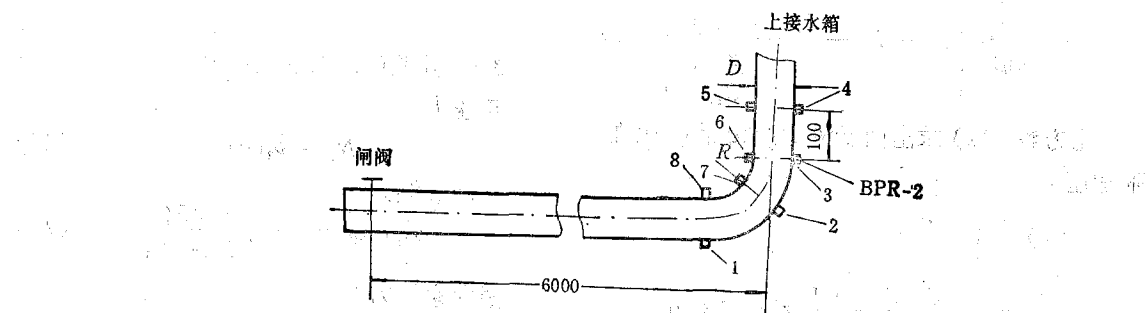


图2 测定部位示意图

弯管几何尺寸为  $R/D=2.5$ ,  $D=25.4\text{mm}$ 。水击波波速为  $a=1314\text{m/s}$ , 水密度  $\rho=1000\text{kg/m}^3$ 。弯管上面接稳压水箱, 距弯管垂直高度15m。下端出口处装有速动闸阀, 由闸阀突然关闭来产生水击波, 采用SC20/16型16线光

线示波器记录水击波的瞬变过程。

## 3. 实验结果及分析

### 3.1 弯管内水击波传播特性

图3示出了水击波经过弯管时, 各测试部位压力瞬变过渡过程。

当水击波经过弯曲流道时,由于壁面条件的干涉作用,在外侧会产生一系列压缩波,内侧会产生一系列膨胀波,因而出现了图2中2、3点压力明显大于其它各点,6、7点压力又明显减小的情况。弯管下游直管内压力沿同向分布

比较均匀,但峰值却比上游有所减小。由于弯曲壁面的作用,使水击波的瞬变过程变得非常复杂,弯管的反射,干涉破坏了正常波面的形状和波动周期的规律性,并加速了水击压力的衰减。

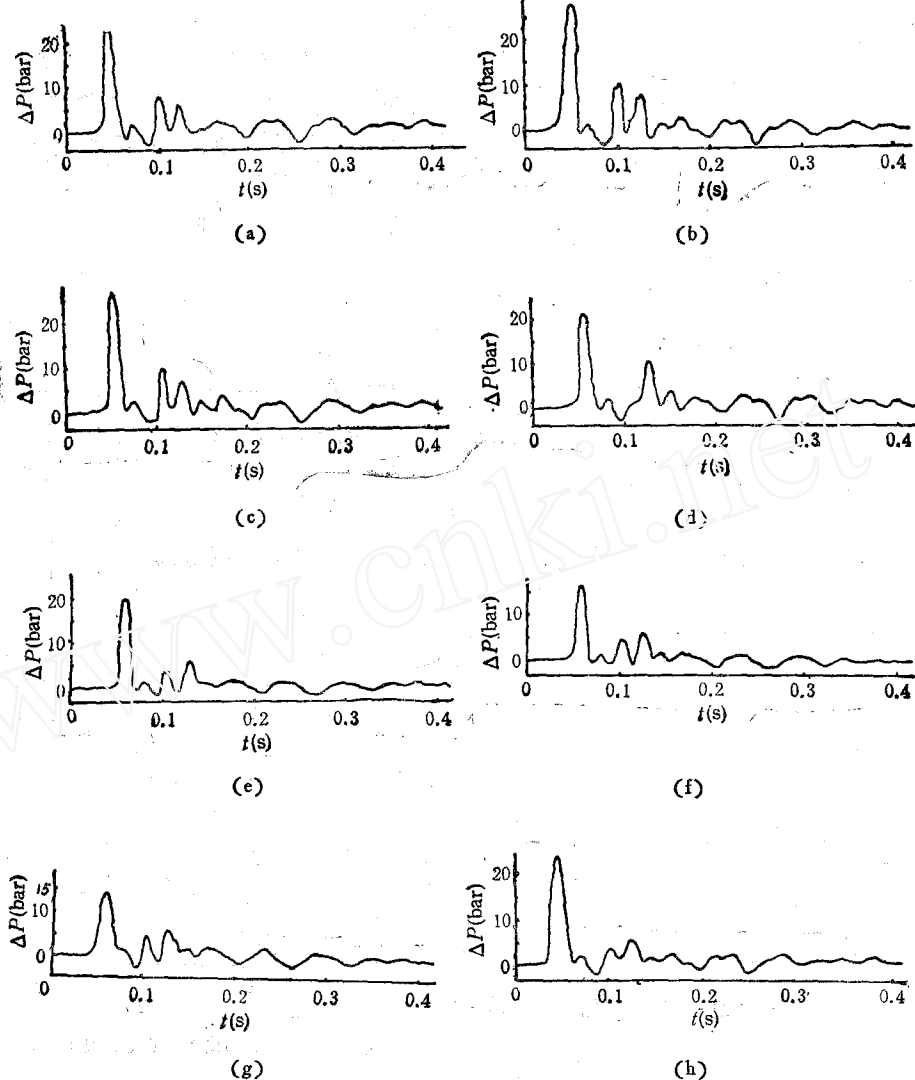


图3 水击波波形图

文献[1]对 $90^\circ$ 弯管作了二维假设(图4),并认为流体非粘性,对水击波在其内部的传播过程进行了数值计算,其结果见图5。实验结果与文献[1]相比较,可以发现两者都是在弯管中间截面外侧出现最大水击压力。计算结果在弯管下游出现了高于上游的压力峰值,实验结果是下游压力比上游小。图5中虚线表示的是

用一维理论计算的结果。显而易见,用一维理论对三维弯管进行计算与实际情况相差很大。

从实验结果和以上分析中可得出如下结论:

- (1) 同样条件下,弯管中出现高于直管的水击压力(比上游大17%)。
- (2) 弯管内侧与外侧压力相差较大(外侧

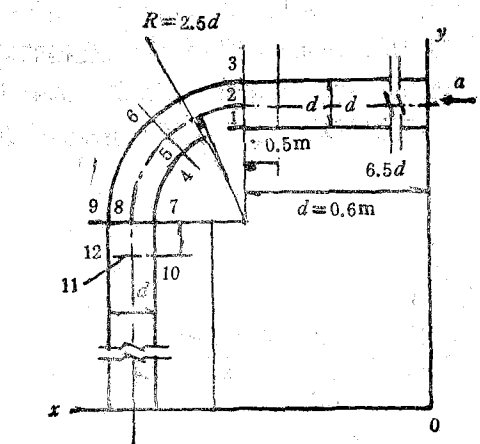
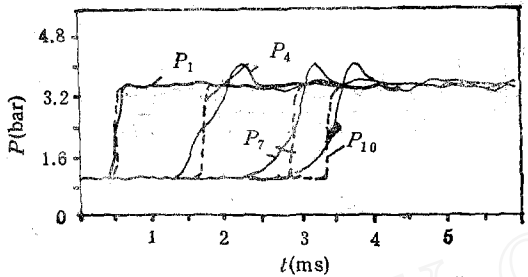
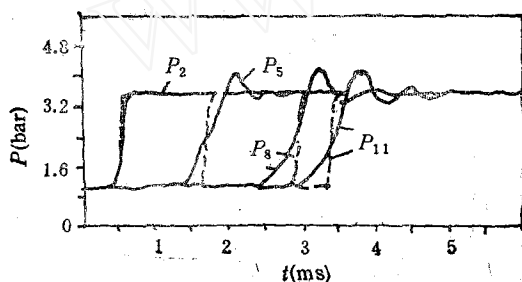


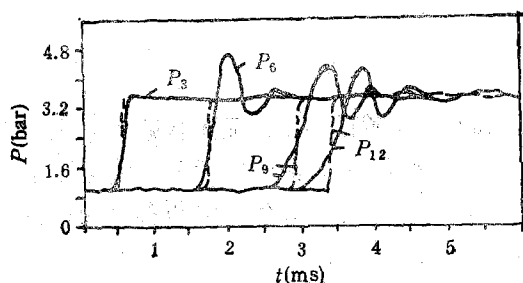
图 4 二维 90° 弯管



(a) 弯管内侧边壁



(b) 弯管中心线



(c) 弯管外侧边壁

图 5 压力波传播的瞬态压力过程

— 二维理论计算结果 ——— 一维理论计算结果

比内侧大 49%).

(3) 弯管下游较上游压力有所减小(减小 13%).

(4) 水击压力衰减加快.

(5) 最大水击压力发生部位与二维理论计算结果一致.

### 3.2 各实验点最大压力与流速的关系

图 6 示出了各实验点压力随流速的变化关系. 可以看出, 各点压力都与流速呈线性关系, 但斜率却不尽相同.

若  $K$  表示斜率, 则

$$K_1 = K_4 = K_5 = K_8 = 1.35$$

$$K_6 = K_7 = 0.84$$

$$K_2 = K_3 = 1.49$$

也就是说, 在直管段区(1, 8, 4, 5 点)斜率基本相等, 为 1.35. 在弯管区外侧(2、3 点)斜率为 1.49. 而弯管区内侧(6, 7 点)斜率最小为 0.84. 这说明弯管外侧压力随流速的变化幅度较直管区大, 内侧则相反.

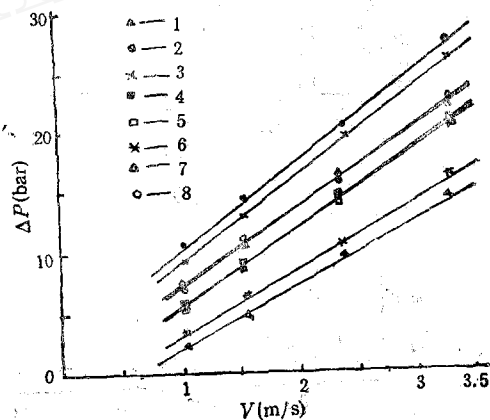


图 6 压力与流速的关系

### 4. 结束语

经过弯管的水击波将在弯管外侧产生高于直管的水击压力, 在内侧将产生低于直管的水击压力. 弯管下游的压力比上游小, 外侧压力随流速的变化斜率大于直管, 而内侧的则比直管的小. 由于内外壁有压力差, 因此, 除了压力波在改变方向时对弯管产生的作用力外, 还必然对弯管产生一个附加作用力, 这个力在管路的设计时应予以考虑.

## 参考文献

[1] 刘光临,压力波在二维弯管中的传播,力学学报,21,5

(1989).  
[2] 王树人,水击理论与计算,清华大学出版社(1981).  
(本文于1991年6月收到修改稿)

# 相对论性万有 D'Alembert 原理的统一形式

李元成 方建会

(甘肃张掖师专, 734000)

**摘要** 本文给出相对论性万有 D'Alembert 原理的统一形式, 它包括了现有相对论的各种形式, 非相对论的各种形式只是本文的特例。

**关键词** 相对论, 万有 D'Alembert 原理

文献[1]给出了万有 D'Alembert 原理在非相对论情况的统一形式。本文把这种形式推广到相对论的情况, 给出相对论性万有 D'Alembert 原理的统一形式, 它具有更广泛的适用性, 由此形式可导出各类高阶运动微分方程的相对论形式。

### 1. 相对论性万有 D'Alembert 原理的普遍形式

设力学系统由  $N$  个质点  $P_i$  ( $i = 1, 2, \dots, N$ ) 构成,  $P_i$  的矢径为  $\mathbf{r}_i$ , 质量为  $m_i$ , 所受的合力为  $\mathbf{F}_i$ , 则万有 D'Alembert 原理可写成<sup>[2]</sup>

$$\left. \begin{aligned} & \sum_{i=1}^N (-m_i \ddot{\mathbf{r}}_i + \mathbf{F}_i) \cdot \delta \overset{(m)}{\mathbf{r}_i} = 0 \\ & \delta t = 0, \delta \mathbf{r}_i = \delta \dot{\mathbf{r}}_i = \delta \ddot{\mathbf{r}}_i = \dots \\ & = \delta \overset{(m-1)}{\mathbf{r}_i} = 0, \delta \overset{(m)}{\mathbf{r}_i} = 0 \end{aligned} \right\} \quad (1)$$

在相对论情况下(1)可改写成

$$\sum_{i=1}^N \left[ -\frac{d}{dt} (m_i \dot{\mathbf{r}}_i) + \mathbf{F}_i \right] \cdot \delta \overset{(m)}{\mathbf{r}_i} = 0 \quad (2)$$

其中  $m_i = m_{0i}/\sqrt{1 - \dot{\mathbf{r}}_i^2/c^2}$ ,  $m_{0i}$  为常量, 称(2)为相对论性万有 D'Alembert 原理。

设该力学系统可用  $n$  个广义坐标  $q_s$  ( $s = 1, 2, \dots, n$ ) 描述, 即  $\mathbf{r}_i = \mathbf{r}_i(q_s, t)$

则

力学与实践

$$\delta \overset{(m)}{\mathbf{r}_i} = \sum_{s=1}^n \frac{\partial \overset{(m)}{\mathbf{r}_i}}{\partial q_s} \delta q_s = \sum_{s=1}^n \frac{\partial \mathbf{r}_i}{\partial q_s} \delta q_s \quad (3)$$

将(3)代入(2)得

$$\sum_{i=1}^n \left[ -\sum_{s=1}^N \frac{d}{dt} (m_i \dot{\mathbf{r}}_i) \cdot \frac{\partial \mathbf{r}_i}{\partial q_s} + Q_s \right] \delta q_s = 0 \quad (4)$$

其中

$$Q_s = \sum_{i=1}^N \mathbf{F}_i \cdot \frac{\partial \mathbf{r}_i}{\partial q_s} \quad (5)$$

引入相对论性广义加速度能<sup>[3]</sup>

$$S^* = \sum_{i=1}^N \frac{1}{2} m_i \left[ \dot{\mathbf{r}}_i^2 + \frac{(\dot{\mathbf{r}}_i \cdot \ddot{\mathbf{r}}_i)^2}{c^2 - \dot{\mathbf{r}}_i^2} \right] \quad (6)$$

和相对论性广义动能函数<sup>[4]</sup>

$$T^* = \sum_{i=1}^N m_{0i} c^2 (1 - \sqrt{1 - \dot{\mathbf{r}}_i^2/c^2}) \quad (7)$$

则  $S^*$  和  $T^*$  对时间  $t$  的  $m$  阶导数分别为

$$\begin{aligned} S^{(m)*} &= \sum_{i=1}^N m_i \overset{(m)}{\dot{\mathbf{r}}_i} \cdot \overset{(m+2)}{\mathbf{r}_i} \\ &+ \sum_{i=1}^N m_i \dot{\mathbf{r}}_i \cdot \overset{(m+2)}{\dot{\mathbf{r}}_i} + \dots \end{aligned} \quad (8)$$

$$\begin{aligned} T^{(m)*} &= \sum_{i=1}^N m_i \overset{(m+1)}{\dot{\mathbf{r}}_i} \cdot \overset{(m+1)}{\mathbf{r}_i} + m \sum_{i=1}^N m_i \overset{(m+1)}{\dot{\mathbf{r}}_i} \\ &\cdot \overset{(m+1)}{\mathbf{r}_i} + m \sum_{i=1}^N m_i \overset{(m+1)}{\dot{\mathbf{r}}_i} \cdot \overset{(m+1)}{\dot{\mathbf{r}}_i} + \dots \end{aligned} \quad (9)$$

其中在(8)式中未写出之项不含  $\overset{(m+2)}{\mathbf{r}_i}$  项, 在(9)式中未写出之项不含  $\overset{(m+1)}{\mathbf{r}_i}$ 、 $\overset{(m+1)}{\dot{\mathbf{r}}_i}$  项。